# 論文 締固め完了エネルギーによるコンクリートの締固め性の評価方法 に関する研究

梁 俊\*1・丸屋 剛\*2・坂本 淳\*3・吉澤 崇幸\*4

要旨:内部振動機の挿入間隔及び振動時間はコンクリートの締固めに大きく影響する。また、コンクリートのスランプの変化、鉄筋の配置状況などにより締固めに必要な振動時間と挿入間隔は相違する。本研究では、実構造物をモデル化した要素試験体を用いて、コンクリートのスランプをパラメータとし、内部振動機をコンクリート中で振動させることにより累積された振動エネルギーが、コンクリートの締固めを完了するのに必要なエネルギー以上となった範囲を締固め完了範囲とすることで鉄筋コンクリートの締固め完了範囲を評価し、施工に使用したコンクリートが必要とする内部振動機の挿入間隔と振動時間を定量的に評価する方法を提案した。

キーワード: スランプ,締固め完了エネルギー,加速度,挿入間隔,振動時間

#### 1. はじめに

内部振動機の挿入間隔及び振動時間はコンクリート の締固めに大きく影響する。一般に、同一配合のコンク リートにおいて, 振動時間を長くするほど締め固めされ る範囲は大きくなると言われるが、振動時間と締固め範 囲が線形的な関係ではないため, 内部振動機を一箇所に 挿入して締固めを行う場合,締め固められる範囲には限 度がある。したがって, 施工計画で, 内部振動機の種類 と振動時間が決められた場合, 内部振動機の挿入間隔を 決める必要がある。土木学会コンクリート標準示方書を 含む、日本におけるコンクリートの締固めに関する主な 基準では、内部振動機を使用する場合の締固め時間や締 固め間隔,締固め終了の目安が記述されている1)。しか しながら、それらは、いずれも振動時間、有効範囲、打 込み方法についての定性的表現に止まっており、理論的 根拠に乏しいので、多くの施工現場においては現場作業 員の経験的判断にゆだねられているところが大きく, 施 工欠陥を引き起こす場合がある。

内部振動機の締固め効果に関する研究はこれまでにも数多く行われており、振動機の周波数、振動時間、コンクリートの性質など、さまざまな要因と締固め特性との関係が研究されている<sup>2),3)</sup>。Kolek は、締固めを支配する要因として加速度、締固め時間およびワーカビリティーを指摘し、締固め率と締固め時間との関係を締固め関数と称して定式化している<sup>4)</sup>。村田は、最大運動エネルギーと締固め時間の積を締固め仕事量の指標として、圧縮強度との関係を締固め関数として表している<sup>5)</sup>。また、岩崎は、内部振動機によるコンクリートの締固めを

液状化として捉え、振動時間と締固め完了域, さらに型 枠や鉄筋などが液状化作用に及ぼす影響を理論的に検 討している<sup>6)</sup>。

一方、國府らは、超硬練りコンクリートを対象に、コンクリートの締固めをエネルギーの観点から評価する方法(JSCE F 508)を提案している<sup>7)</sup>。しかし、超固練りコンクリートに比べて流動性の高い通常のコンクリートでは、打ち込んだ時点である程度の充填性があるため、JSCE F 508 に規定されている方法では、振動を与えると直ちに空隙が排除されて締固めが完了し、通常のコンクリートには適用できない。そこで、梁らは、超硬練りコンクリートの評価手法をもとに、締固め度を締固めの進行程度の指標として、スランプ 5cm~15cm 程度のコンクリートの変形挙動を締固めエネルギーの観点から定量的に評価できる室内試験方法を提案している 8),9)。

本研究では、実構造物をモデル化した要素試験体を用いて、コンクリートのスランプをパラメータとし、コンクリートの締固め完了エネルギーから施工に使用したコンクリートが必要とする内部振動機の挿入間隔と振動時間を定量的に評価する方法を検討した。

#### 2. 検討方法および試験装置

#### 2.1 締固め完了範囲の判断

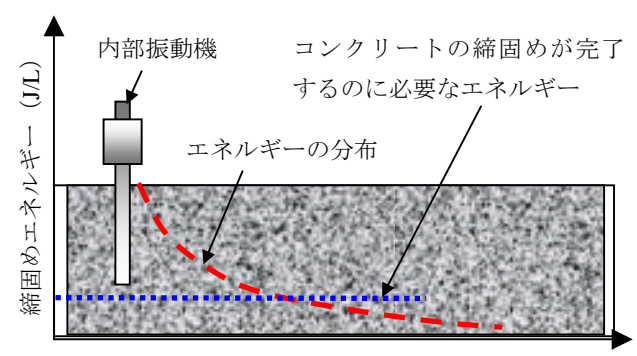
コンクリートを締め固めるにはエネルギーが必要であり、一般には内部振動機をコンクリート中で振動させることにより、そのエネルギーは与えられる。振動機による振動をコンクリートに与え続けると、そのエネルギーは累積されるが、振動機から距離が遠い程、累積され

<sup>\*1</sup> 大成建設 (株) 技術センター 土木技術研究所 土木構工法研究室 副主任研究員 博士 (工学) (正会員)

<sup>\*2</sup> 大成建設(株) 技術センター 土木技術研究所 土木構工法研究室 室長 博士 (工学) (正会員)

<sup>\*3</sup> 大成建設(株) 技術センター 土木技術開発部 土木技術開発プロジェクト室 主任研究員 工修(正会員)

<sup>\*4</sup> 大成建設(株) 土木本部 プロジェクト部 第三プロジェクト室 課長



振動機からの距離 (cm)

#### 図-1 検討方法の概念図



図-2 締固め試験装置

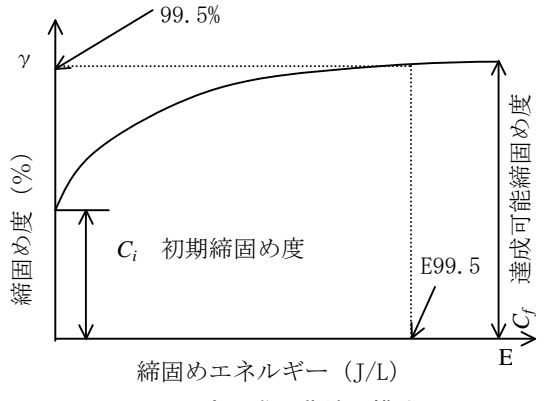


図-3 変形進行曲線の模式図

るエネルギーは小さくなるので、振動機からの距離によるエネルギーの分布は図-1のように示すことができる。累積されたエネルギーが、コンクリートの締固めを完了するのに必要なエネルギー以上となる範囲を締固め完了範囲とする。

### 2.2 締固め完了エネルギー

コンクリートの締固め完了エネルギーを測定する試験装置を**図-2**に示す。逆回転偏心モータ 2 台を備え、一定振幅により振動する振動台、データを記録するためのコンピュータ、振動台の振動数を変化させて加速度を調節するための制御盤の3点から構成されている。直径が240mmの試験容器の中でスランプ試験を行い、振動台にセットして振動をかける。その際に試料の上面の沈下量と振動台の加速度、振動数を記録する。

コンクリートの締固め性は、コンクリートのコンシス

テンシーに応じた締固め前における型枠中のコンクリートの見掛けのかさ密度から、コンクリートの配合の理論密度に至る変形の容易さを表すものと考えることができる。そこで、締固めの程度は、円筒容器中の試料の最も高い部分を高さとする円筒体積に対するコンクリート試料の真の体積の比として捉え、これを締固め度 $\gamma$ と定義する。締固め度 $\gamma$ は式(1)により表すことができる $^{6}$ 。

$$\gamma = H_0/h \times 100 = ((m/\rho)/A)/h \times 100$$
 (1)

ここに、 $\gamma$ :締固め度(%),  $H_0$ :配合に基づく理論上の単位容積質量まで締め固められた時の試料の高さ(mm), h:任意の締固め時間における試料の高さ(mm), m:試料の質量(kg),  $\rho$ :試料の単位容積質量(kg/L), A:円筒容器の底面積(mm²)

変形進行曲線を式(2)に示す。なお,式中の各係数は**図-3**の模式図に対応する。

$$\gamma = C_i + (C_f - C_i)[1 - \exp(-bE^d)]$$
 (2)

ここに、 $\gamma$ : 締固めエネルギーEにおけるコンクリートの締固め度(%),  $C_i$ : 初期締固め度(%),  $C_f$ : 締固めエネルギーを無限大とした時の達成可能な締固め度(%)(硬練りコンクリートの場合は必ず締固めることができるので、 $C_f$ は100%と考えてよい), b, d: 実験定数一方, 締固めエネルギーは式(3)により求めることができる $^{50}$ 。

$$E_t = \rho \ \alpha_{max}^2 t / 4 \pi^2 f \tag{3}$$

ここに、 $E_t$ : t 秒間にコンクリートが受ける締固めエネルギー (J/L), t: 振動時間 (s),  $\alpha_{max}$ : 最大加速度 (m/s²), f: 振動数 (s¹),  $\rho$ : 試料の単位容積質量(kg/L)

本研究では、締固めを終了してもよいとされる締固め 度を、締固めが十分になされたと見なしてよい 99.5 と 設定し、締固め度 99.5%までに与えられたエネルギーを 締固め完了エネルギー(E99.5)と定義した<sup>8</sup>。

#### 2.3 加速度伝播の測定

コンクリートに累積されるエネルギーは式(3)により 求めることができる。既往の研究によると $^{50}$ ,伝播中の 振動波の振動数はほとんど変化しないので,振動時間を 一定にした場合,エネルギーは加速度  $\alpha_{\max}$  の関数である。 したがって加速度の分布を求めるとエネルギーの分布 を求めることができる。

図-4に示す実構造物の高密度配筋部材と同等の配

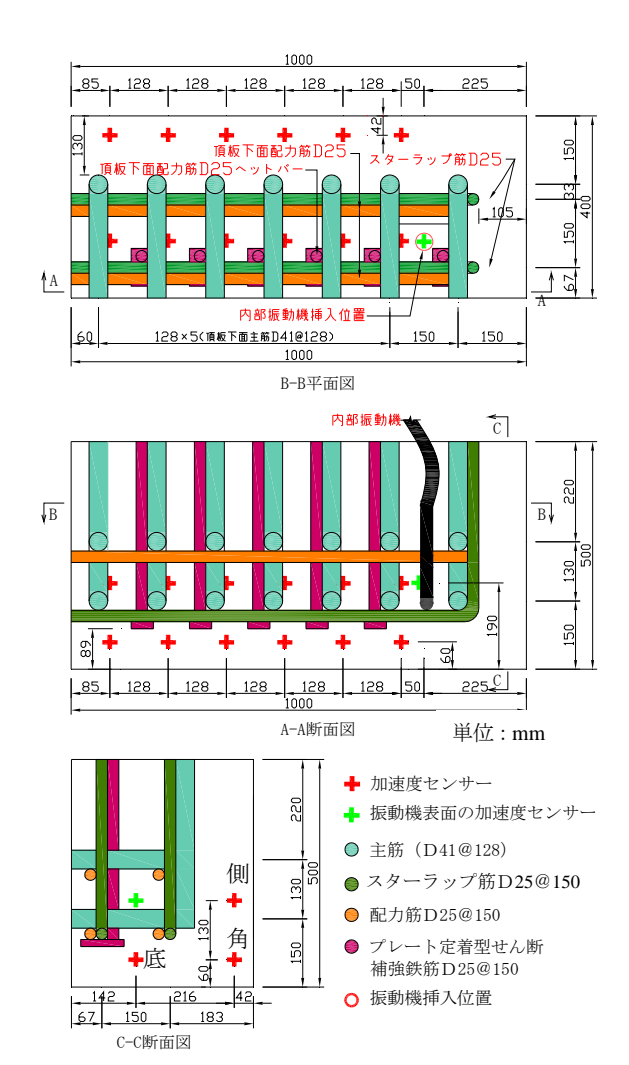


図-4 鉄筋の配置および加速度センサーの配置

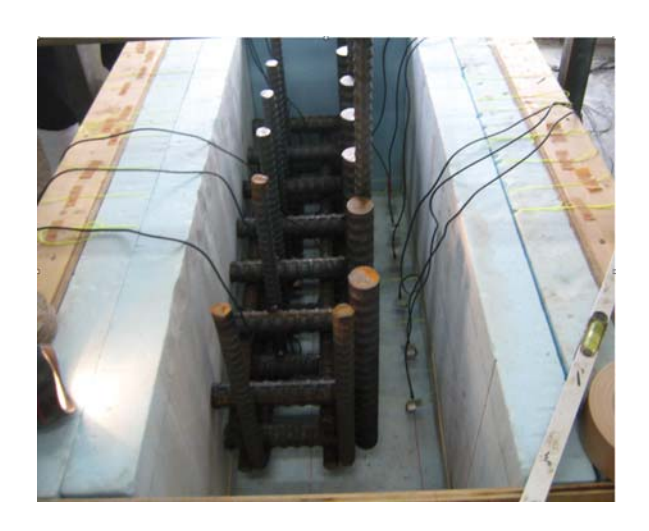


写真-1 配筋および加速度センサー配置状況

筋条件にした模擬試験体を用いて、内部振動機からの距離における加速度の分布を測定した。写真-1に鉄筋の配置および加速度センサーの設置状況を示す。実構造物と同じ配筋条件となるように、型枠内には、主鉄筋D41@125の二段配筋、配力筋D25@125の鉄筋に加えて、

表一1 使用材料

種類		品質			
セメント(C)		高炉B種:密度 3.04g/cm³			
細骨材	S1	千葉県君津産山砂:表乾密度2.58g/cm³,			
		吸水率 1.58%			
	S2	高知県鳥形山産石灰砕砂:表乾密度			
		2.66g/cm³,吸水率 1.06%			
和铀升	G	高知県鳥形山産石灰砕石 (G <sub>MAX</sub> 20):			
粗骨材		表乾密度:2.70g/cm³, 吸水率0.60%			
混和剤(Ad)		AE 減水剤(標準型)			

表-2 コンクリートの配合

#7 <b>^</b>			単 位 量 (kg/m³)				15 44. av	
配合 (スラン	W/C	s/a	水	セメ	細作	骨材	粗骨材	AE 減水 剤
プ)	(%)	(%)	W	ント	S		G	(C×%)
<i>)</i>				С	S1	S2		(0 / 70)
8cm	50	44. 9	150	300	490	338	1050	0.85
12cm	50	45. 3	156	312	488	335	1029	0.50
15cm	50	45. 5	162	324	482	333	1010	0.85

D25 のスターラップ筋, D25 の配力筋, スターラップ筋 である D25 のプレート定着型せん断補強鉄筋を設置した。 かぶりの厚さは側面が 130mm, 底面が 89mm である。加速 度センサーの取付け位置として、図-4に示すように、 加速度の減衰が著しいと思われる底面のかぶり部、側面 かぶり部および側面と底面角部に設置した。加速度セン サーは 128mm 間隔で配置した。加速度センサーの寸法は L14.0×W14.0×H17.4mm で,加速度センサーの容量は, 内部振動機表面のが 200G, 内部振動機から 10cm 離れた 箇所のが 50G, 20cm 離れた箇所のが 20G, その他の箇所 のが 10G である。なお、測定軸方向は振動機からの水平 方向を測定軸方向とした。φ60mmの内部振動機の先端を 型枠の底面から 90mm の位置まで挿入して締固めを 15 秒 間行った。締固め時間の設定においては、 コンクリート 標準示方書に決められた締固め時間の最大値である 15 秒1) に設定した。内部振動機の先端から 100mm の位置に 加速度センサーを取り付けて, 振動機表面の加速度も測 定した。

#### 3. 使用材料およびコンクリートの配合

使用材料を表-1に示す。水セメント比を 50%一定とし、細骨材率を 45%程度として単位水量を変化させてスランプ 8, 12, 15cm の配合を選定した。なお、コンクリートの状態を最適にするため、細骨材率は微調整を行った。コンクリートの配合を表-2に示す。

# 4. 締固め完了エネルギーによる模擬試験体の締固め完 了範囲の評価結果

図-2に示す締固め試験装置を用いて、各配合のコン クリートの締固め完了エネルギーを測定した。試験結果 を示す測定装置のモニター画面の写真を図-5に示す。 緑色の曲線がスランプ 15cm, 赤色の曲線がスランプ 12cm, 紺色の曲線がスランプ8cmの変形進行曲線である。また, コンクリートのフレッシュ性状と単位容積質量、および コンクリートの締固め完了エネルギーを**表-3**に示す。 締固め完了エネルギーがスランプの増加により小さく なっていることがわかる。配筋および型枠の形状の影響 により, 試験体内部の各部位に伝わってくる加速度は相 違する。特に伝わってきた加速度の減衰が大きいかぶり 部では、側面、底面、角部に着目し、測定された加速度 と振動時間から振動時間内で累積された締固めエネル ギーを計算することで内部振動機からの距離と締固め エネルギーの関係を評価した。以下に、スランプ8cmの コンクリートを用いた場合の底面における締固め完了 範囲の評価を一例として、コンクリートの配合に固有な 締固め完了エネルギーと振動機からの距離による締固 めエネルギーの分布から締固め完了範囲を求める方法 を説明する。

内部振動機は振動機内部の偏鍾の回転により振動するため、鉛直線を中心に回転しながら振動する。したがって、一定の方向に対しての加速度の変化は、sin 曲線で示すことができる。しかしながら、フレッシュコンクリートの材質の不均一さ、加速度センサーと粗骨材の衝突などにより、実測した sin 曲線の振幅は一定ではなく乱れがある。本研究では、15 秒間の sin 曲線の振幅を平均した sin 曲線の平均振幅を各加速度計が測定した最大加速度とした。底部にセットした各加速度センサーが測定した加速度から計算した内部振動機の中心からの距離に応じた最大加速度の分布を図ー6に示す。内部振動機からの距離による加速度の分布はコンクリートのスランプの大小により明らかに変化しているとは言えない。

そこで、式(3)により、スランプ8,12,15cmのコンクリートを用いた場合の加速度センサーがセットされている各点における締固めエネルギーを求めた。図ー7に底部におけるエネルギーの分布を示した。図ー7の点線が示すように、締固め完了エネルギー相当の累積エネルギーを受けた位置までを締固め完了範囲とした。同様の手法により、型枠の側部および角部について各スランプの締固め完了範囲を評価した結果を表-4の計算値欄に示す。各スランプにおいて、締固め完了範囲が最小である底部の締固め完了範囲をその配合の締固め完了範囲とした。

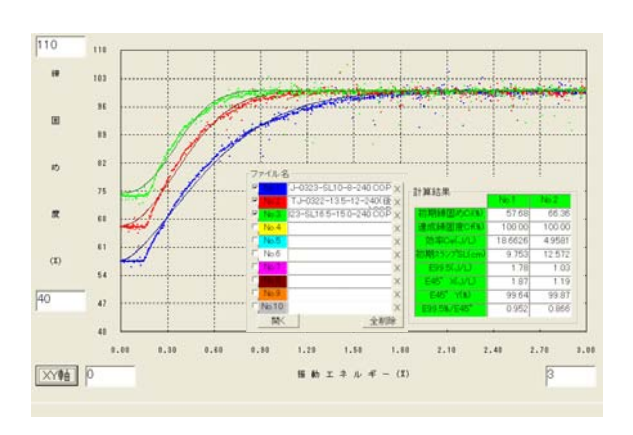


図-5 測定結果を示すモニタの画面

表-3 フレッシュ性状と締固め完了エネルギー

	スラ	空気	コンクリ	単位容	締固め完
配合区分	ンプ	量	ート温度	積質量	了エネル
	(cm)	(%)	$(\mathcal{C})$	$(t/m^3)$	ギー (J/L)
スランプ 8cm	9.0	5. 1	20	2. 317	1. 78
スランプ 12cm	12.0	4.8	19	2. 321	1.03
スランプ 15cm	15. 0	4. 5	20	2. 324	0.78

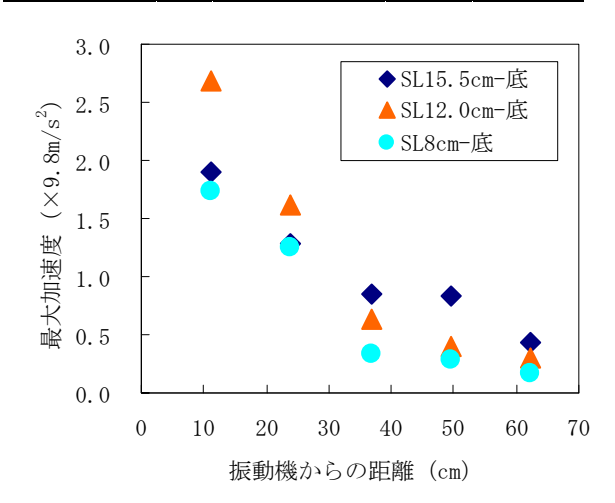


図-6 最大加速度の分布

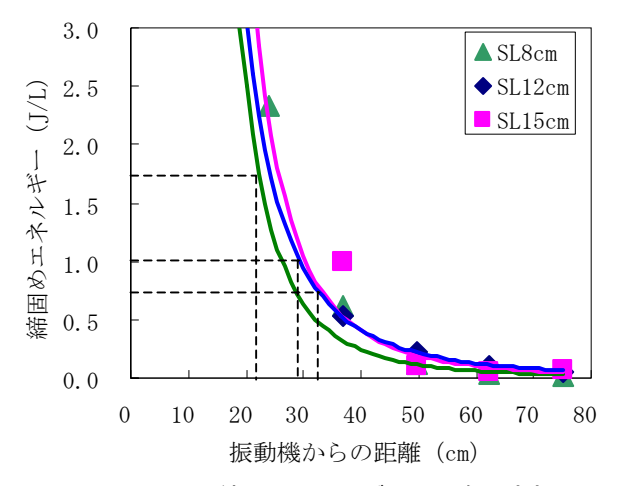


図-7 締固めエネルギーの分布(底部)

# 5. 硬化試験体による締固め完了範囲の確認

前章で述べたように、測定された最大加速度により求めた内部振動機からの距離に応じた締固めエネルギーの分布と使用したコンクリートの締固め完了エネルギーから、任意のスランプのコンクリートと一定の振動時間における内部振動機の締固め完了範囲を計算することができる。この計算方法で計算した締固め完了範囲と実際の締固め完了範囲を比較するため、加速度センサーを設置せずに前章と同様な型枠・配筋・締固め条件で試験体を作製し、硬化後の試験体の締固め状況を確認した。

現実の打込みに近い状態でコンクリートを型枠内に打設するため、 $\phi$ 100mm のポンプ配管先端を想定し、**写真** -2の写真 A に示すように、先端をカットして開口口が $\phi$ 100mm としたカラーコーンを使用して打設を行った。カットしたコーン端面( $\phi$ 100 側)は型枠底面から 500mm 程度の高さにセットしてコンクリートを打設した。140L

表-4 締固め完了範囲の計算値および実測値

	スランプ(cm)	8. 0	12.0	15.0
卦	計算値(底) (cm)	22. 2	29. 3	33. 1
計算値	計算値(角)(cm)	24. 2	32. 3	39. 0
100	計算値(側)(cm)	26. 5	34. 7	36. 3
	側面充填状態(cm)	45.0	50.0	75.0
測定値	上面盛上り状態 (cm)	21.0	30.0	37. 5
値		12.8~	25.6~	25. 6∼
	カット面充填状態(cm)	25. 6	38. 4	38. 4

のコンクリートをバケツにより 11 回に分けて (約 13L/回) カラーコーンを通じて型枠内に投入した。本研究では、投入したコンクリートが締固められて配合から理論的に計算した密度に達した状態を締固め完了と定義している。したがって、140LのコンクリートをL1000×W400×H350の型枠に投入した場合、完全に締固めができて配合から理論的に計算した密度に達したとすれば、鉄筋の体積を考慮してもその高さは36.5cmになるべきである。一例として、スランプ8cmのコンクリートを使用した場合の試験体の打設状況を写真-2に示す。

試験体に対して, 側面充填状況, カット面状況, およ び上面の試料盛上り状況から締固め完了範囲を以下,考 察する。なお、試験体はセンターラインに近い線に沿っ てカットした。写真 B が投入後の状況,写真 C が締固め 後の上面状況,写真 D が脱型後側面の状況である。側面 の充填状態から見ると振動機の挿入位置からの水平距 離で 45cm, 直線距離 49cm のところまで充填されたよう に見える。また、硬化後試験体のカット面の状況を写真 -3に示す。写真 A がカット面の状況である。カットさ れたかぶり部を振動機からの距離の 12.8, 25.6, 38.4, 51.2cm の位置で横断方向に切断して試験体かぶり部の 充填状況を確認した。切断したかぶり部を写真Bにその 詳細を写真 C に示す。振動機からの距離の 12.8cm まで の断面には、不充填部が発現されなかったが、写真Cに 示すように、振動機からの距離の 25.6cm の断面には、 明らかな不充填部が発現された。これは、締固め十分と 締固め不十分の境が 12.8~25.6cm の間である可能性が

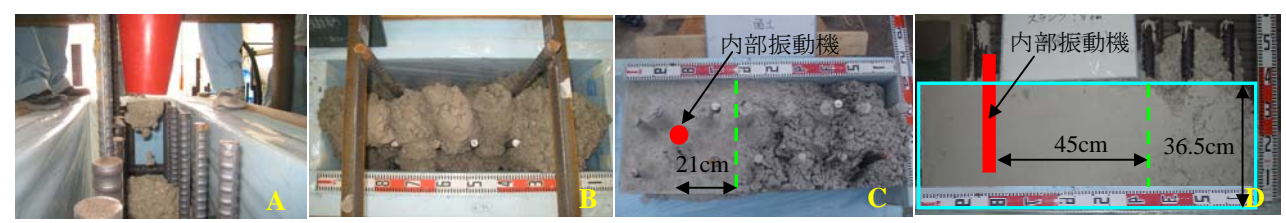
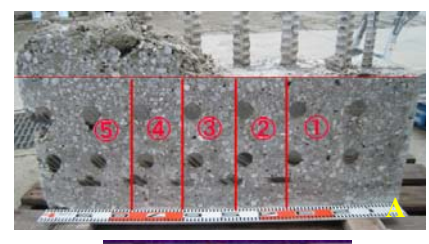


写真-2 コンクリートの投入状況および硬化後の側面状況





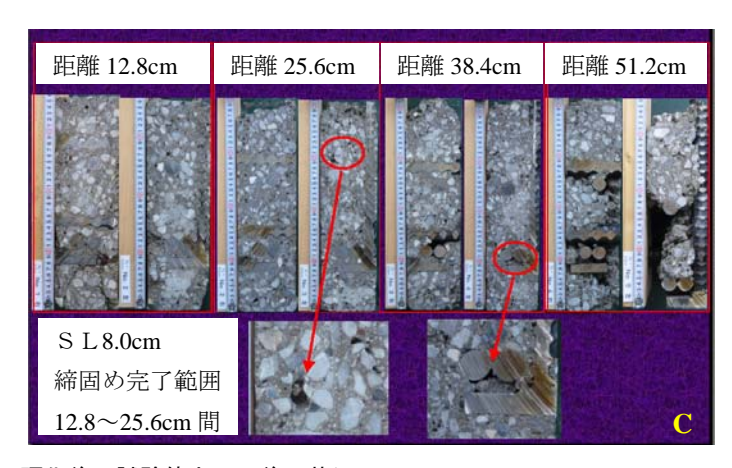


写真-3 硬化後の試験体カット後の状況

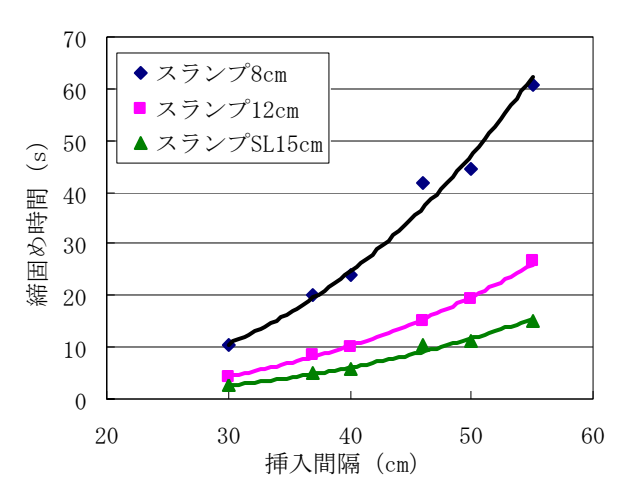


図-8 内部振動機の挿入間隔と締固め時間の関係

大きいことを示す。また、側面の充填状態から判断した 締固め完了範囲 49cm よりははるかに小さいことから, 側面の充填状態の目視による判断だけで, 締固めの程度 を判断することは難しく, 危険側の判断になりやすいこ とを意味する。前述したように、型枠に投入したコンク リートが完全に締固めができたとすれば、その高さは 36.5cm になるべきである。しかし、**写真-3**の写真 A か らわかるように、試験体の上面には、36.5cm以上に盛り 上がった部分がある。したがって、盛り上がった部分以 下のコンクリートは理論密度に達しているとはいえな いため、締固め完了とは言えない。高さが 36.5cm にな った範囲を測定すると、振動機からの距離は 21cm であ る。この位置はかぶり部をカットして確認した締固め範 囲は  $12.8 \sim 25.6 cm$  の間であることとほぼ合致しており、 また、前章で求めた締固め完了範囲は表-4に示す通り 22.2cm であるため、計算値ともほぼ一致する。表-4に 示すように、スランプ 12, 15cm の場合も計算値と測定 値ほぼ一致している。これは、締固めエネルギーによる 締固め範囲の計算は可能であることを意味する。

本研究での試験体と同じ配筋状態において、φ60mmの内部振動機を使用した場合、締固めエネルギーにより算出したスランプ8,12,15cmのコンクリートが十分締固められるのに必要な内部振動機の挿入間隔と締固め時間の関係を図-8に示す。スラブの施工を想定した場合、内部振動機の締固め範囲は円形である。締固めが不十分の領域を残さないためには締固め範囲が重なるようにするしかないので内部振動機の挿入間隔は締固め範囲の2倍ではなく、それより小さくなる。図-8により、施工計画段階で、施工に使用するコンクリートのスランプによって内部振動機の挿入間隔と振動時間を決めるか、あるいは決められた挿入間隔と振動時間によって、コンクリートの十分な締固めが保障することができるコンクリートのスランプを選定することができる。

#### 6. まとめ

実構造物をモデル化した要素試験体を用いて、コンク リートのスランプをパラメータとし、コンクリートの締 固め完了エネルギーから施工に使用したコンクリート が必要とする内部振動機の挿入間隔と振動時間を定量 的に評価する方法を検討した結果、以下のことが明らか となった。

- (1) 累積された内部振動機による振動エネルギーが、コンクリートの締固めを完了するのに必要なエネルギー以上となった範囲を締固め完了範囲とすることで、 鉄筋コンクリートの締固め完了範囲を評価することができる。
- (2) 締固めエネルギーにより締固め完了と評価した範囲 の計算結果と実構造物をモデル化した要素試験体に おける締固め完了範囲はほぼ一致する。
- (3) 型枠面の充填状態を目視して評価するだけでは締固 めの程度を判断することは難しく, 危険側の判断に なる可能性がある。

# 参考文献

- 1) 土木学会: 2007 年制定コンクリート標準示方書[施工編], pp. 121-122, 2008.3
- 2) 国島正彦,渡辺泰充:コンクリート構造物の耐久性に及ぼす設計過程の影響,土木学会論文集,No. 421/V-13,pp. 165-174,1990.9
- 3) 日本コンクリート工学協会:施工の確実性を判定する ためのコンクリートの試験方法とその適用性に関する 研究報告書,pp. 67-72, 2009.7
- J. Kolek: The Internal Vibration of Concrete, Caviling and Public Works Review, vol. 54, No. 640, pp. 1286-1290, 1959.3
- 5) 村田二郎: フレッシュコンクリートの挙動に関する研究, 土木学会論文集, No. 378/V-6, pp. 21-33, 1987. 11
- 6) 岩崎訓明:振動によるフレッシュコンクリートの液状 化と内部振動機の作用領域に関する考察,土木学会論 文集, No. 426/V-14, pp. 1-18, 1991.11
- 7) 國府勝郎, 上野敦: 締固め仕事量の評価に基づく超硬 練りコンクリートの配合設計, 土木学会論文集, No. 532/V-30, pp. 109-118, 1996.2
- 8) 梁俊, 國府勝郎, 宇治公隆, 上野敦: フレッシュコン クリートの締固め性試験法に関する研究, 土木学会論 文集 Vol. 62, No. 2, pp. 416-427, 2006.6
- 9) 梁俊, 宇治公隆, 國府勝郎, 上野敦: スランプの相違がフレッシュコンクリートの締固め性に与える影響, セメント・コンクリート論文集 No. 59, pp. 146-151, 2005.2